

بازسازی بیش از یک قرن کمینه دمای ماهانه نیمه سرد سال از روی حلقه‌های درختی بلوط ایرانی (*Quercus persica*) در جنگل‌های زاگرس (مطالعه موردی منطقه دنا)

*سعید محمدی: استادیار اقلیم شناسی، دانشگاه اصفهان، اصفهان، ایران

وصول: ۱۳۹۳/۵/۶ پذیرش: ۱۳۹۳/۹/۱۹، صص: ۱۶۲-۱۴۷

چکیده

دانش اقلیم شناسی درختی، با مطرح کردن اثرات اقلیمی موجود در حلقه‌های سالیانه درختان، شناخت عناصر اقلیمی ادوار گذشته را بویژه برای مناطقی که از داده‌های اقلیمی کوتاه مدتی برخوردارند، فراهم می‌سازد. از جمله این مناطق، منطقه دنا است. به همین دلیل در این مطالعه، اقدام به بازسازی میانگین کمینه دمای ماهانه نیمه سرد سال منطقه دنا، به کمک پهنه‌ای حلقه‌های سالیانه گونه بلوط ایرانی، توسط رگرسیون خطی ساده و درجه دو، شده است. با این هدف، سه ارتفاع روشی در جنگل‌های منطقه دنا انتخاب و ۵۲ نمونه روشی از ۲۶ پایه درخت، استخراج و پهنه‌ای دوایر روشی سالیانه آنها توسط نرم افزار اتوکد با دقیق ۳ میکرون اندازه گیری شدند. بعد از مرحله تطبیق زمانی، برای حذف اثرات غیراقلیمی، تمامی پارامترهای اقلیمی و سری زمانی حلقه‌های روشی استاندارد شدند. از میان چهار گاه شناسی تهیه شده توسط نرم افزار ARSTAN، گاه شناسی باقیمانده (RES) با کمینه دما طی دوره ۱۳۹۰-۱۳۶۱ را انتخاب و همبستگی معنادار مثبت دما با پهنه‌ای دوایر روشی تأیید شد. بر اساس روابط و همبستگی بین گاه شناسی باقیمانده و داده‌های اقلیمی دوره آماری مشترک، کار بازسازی کمینه دمای ماهانه بیش از ۱۳۱ سال گذشته منطقه انجام و مشخص شد در سه دهه اخیر، کمینه دمای ماهانه نیمه سرد سال، نسبت به یک قرن قبل از خود، یک روند افزایشی را داشته و تا حدودی از سرمای فصل سرد کاسته شده است.

واژه‌های کلیدی: اقلیم شناسی درختی، تحلیل رگرسیونی، گاه شناسی، گونه بلوط ایرانی

مقدمه

مناطق مختلف هستند. با مطالعه پارامترهای فیزیکی درختان می‌توان تغییرات اقلیم را در طول زندگی درخت، بازسازی نمود (لودر^۲ و همکاران، ۲۰۰۷،

تغییرات محیطی و متغیرهای اقلیمی، مهمترین عامل در توزیع گیاهان (سانی^۱ و همکاران، ۲۰۱۰، ص ۱۰۸۰) و پراکندگی گونه‌های متنوع گیاهی در

² Loder

E-mail:s.movahedi@ltr.ui.ac.ir

¹ Sahney

*نویسنده مسئول

لیو^{۱۲} و همکاران(۲۰۱۰)، های^{۱۳} و همکاران(۱۱)، اشاره کرد. از جمله دستاوردهای آنها می‌توان به بازسازی دمای تابستان، برای حوضه رودخانه یانگ تسه در فلات تبت در یک دوره ۳۷۹ ساله، بازسازی دمای حداقل ژوئن-جولای برای جنوب غرب یوکان، طی ۳۰۰ سال گذشته، بازسازی دمای سالانه در کوه‌های هنگدوان مرکزی چین، بررسی تغییر پذیری دمای آگوست از ۱۵۸۵ میلادی در جنوب شرقی تبت، بررسی تغییر پذیری دمای آگوست از سال ۱۳۸۵ میلادی در جنوب شرقی فلات تبت با استفاده از دوایر رویشی درختی، اشاره نمود. آنان عقیده دارند که دهه‌های ۱۸۱۰، ۱۸۶۰، ۱۸۸۰ و ۱۹۴۰، دهه‌های سرد و دهه‌های ۱۷۸۰، ۱۸۵۰ و ۱۹۶۰ و دو دهه اخیر از دهه‌های گرم منطقه بوده اند و روند گرمایشی قرن ۲۰ در شش قرن گذشته بی‌سابقه بوده است. همچنین می‌توان از مطالعات جاکوبی^{۱۴} و همکاران(۲۰۰۴)، ص ۳۰۳)، نام برد که اقدام به بازسازی دما و رابطه آن با نوسان دهه آرام^{۱۵}، با استفاده از حلقه‌های درختی درختان کهنسال بلوط^{۱۶}، برای جزایر کوریل(روسیه) طی یک دوره ۴۰ ساله، نموده اند و نشان دادند، بین شاخص حلقه‌های درختی و میانگین بیشینه دمای تابستان(خرداد-شهریور)، بالاترین همبستگی^{۱۷} معنادار وجود دارد. فرانک^{۱۸} و اسپیر(۲۰۰۵، ص ۱۴۳۷) نیز، اقدام به

فصل ۳). همچنین حلقه‌های درختی می‌توانند داده‌های پالئوكلیمایی را برای دوره‌های زمانی فاقد داده فراهم نمایند (سوآرز^۳ و همکاران، ۲۰۰۹، ص ۱۸۴). طبق مطالعات انجام شده، ثابت شده که انواع گونه‌های بلوط، ارزش مطالعات اقلیم‌شناسی درختی را در خود دارند (پن^۴ و همکاران، ۱۹۹۷، ص ۷۸).

در سطح جهان مطالعات گسترده‌ای در ارتباط با بازسازی متغیرهای اقلیمی با استفاده از دانش اقلیم‌شناسی درختی صورت گرفته است. در آمریکای شمالی به ویژه در منطقه آپالاش، کوههای راکی و غرب آمریکا (ویلسون^۵ و لاکمن^۶، ۲۰۰۲، فلاور و اسپیر^۷ ۲۰۱۱) و نیز خشکسالی‌های محلی و منطقه‌ای در این ناحیه(فریتز^۸ ۱۹۶۲، آریگو^۹ و همکاران ۱۹۹۹)، مطالعات زیادی انجام شده است. آنها توانسته‌اند دوره‌های خشکسالی محلی، دماهای ماهانه، فصلی و سالانه را با استفاده از این دانش بازسازی نمایند. مطالعات آنها نشان می‌دهد، مناطقی که دارای حداقل های دمای پایین هستند، حداقل‌های دمای منطقه با پهنه‌ای دوایر رویشی همبستگی مثبت خواهد داشت. همچنین تحقیقات متعددی در چین و فلات تبت، در این ارتباط صورت گرفته است که می‌توان به کارهای لیانگ^{۱۰} و همکاران(۲۰۰۷)، یانگ بلات و لاکمن^{۱۱} (۲۰۰۸)، فان^{۱۲} و همکاران(۲۰۰۸)،

^۳ Suarez

^۴ Pan

^۵ Wilson

^۶ Flower and Esper

^۷ Fritts

^۸ Arrigo

^۹ Liang

^{۱۰} Youngblut and Luckman

^{۱۱} Fan

^{۱۲} Liu

^{۱۳} Hai

^{۱۴} Jacoby

^{۱۵} Pacific Decadal Oscillation

^{۱۶} Oak

^{۱۷} Correlation

^{۱۸} Frank

همکاران(۱۳۹۰) در منطقه تلیم رود تنکابن اشاره کرد که با استفاده از ضرایب همبستگی پیرسون، اقدام به مطالعه اثر متغیرهای اقلیمی به ویژه بارندگی، دما و رطوبت نسبی بر حلقه های رویشی چوب گونه بلوط پرداخته اند. آنها عقیده دارند که میان بارش آذر، دمای دی، بهمن و اسفند ماه و پهنهای دوایر رویشی یک رابطه معنادار منفی وجود دارد. کرم زاده و همکاران (۱۳۹۰) نیز با استفاده از ضرایب همبستگی پیرسون در منطقه ی سراوان گیلان، به یک رابطه معناداری بین دما و بارش و رشد عرضی حلقه های رویشی رسیده اند، آنان به رابطه مثبتی بین بارش در ماههای اردیبهشت تا تیر و به رابطه ای منفی میان حداثتر دمای تیر و حداقل دمای آبان، با پهنهای رویشی حلقه های درخت بلوط اشاره داشته اند. همچنین می توان به کارهای نجفی و همکاران(۱۳۹۰)، امیر چخماقی و سهرابی(۱۳۸۹)، عزیزی و همکاران(۱۳۹۱)، ارسلانی و همکاران (۱۳۹۱)، اشاره نمود. این مطالعات بیشتر در جنگل های زاگرس صورت گرفته است. این محققین نیز با استفاده از یک تحلیل رگرسیونی و ضرایب همبستگی پیرسون، اقدام به مطالعه روابط رویش- اقلیم نموده اند. از دستاوردهای آنها می توان به بازسازی تغییرات بارش اکبر- می استان کرمانشاه با استفاده از حلقه های درختی بلوط مازودار^{۲۳}، بازسازی تغییرات دما و بارندگی زاگرس میانی با استفاده از حلقه های درختی بلوط اشاره نمود. آنان ضمن مشخص کردن دهه های خشک و مرطوب منطقه طی ۳۰۰ سال گذشته، به این

بازسازی و مقایسه دمای ثبت شده با داده های به دست آمده از طریق شبکه ای از گاه شناسی^{۱۹} دوایر رویشی در آلپ نموده اند. آنها توانستند میانگین دمای منطقه مورد مطالعه را برای دو مقطع زمانی ژوئن-آگوست و آوریل- سپتامبر تا سال ۱۶۰۰ با استفاده از روش رگرسیونی بازسازی کنند و یا و همکاران (۲۰۱۱، ص ۴۳۸)، (کوسه و گانز^{۲۰}، ۲۰۱۲)، (آگم^{۲۱}، ۲۰۱۱)، با انجام یک تحلیل رگرسیونی، اقدام به بازسازی بارش می- ژوئن و دوره های خشک و مرطوب و نیز بازسازی دما، در غرب آناتولی نمودند.

از جمله کارهای انجام شده در ایران می توان به کار تابان(۱۳۶۸) در منطقه کرمانشاه، جهانبازی و همکاران (۱۳۸۰) در منطقه چهار محال و بختیاری، پور سرتیپ (۱۳۸۴) در منطقه چهار باغ گرگان، سوسنی و همکاران (۱۳۸۷) در جنگل های بدرآباد خرم آباد، بالاپور و همکاران(۱۳۸۷) در جنگل های محدوده شرکت نکا چوب، جلیلوند و کاظمی (۱۳۸۷) در شمال ایران، پور طهماسبی و همکاران (۱۳۸۷) در زاگرس، اشاره نمود که با استفاده از یک تحلیل رگرسیونی و ضرایب همبستگی پیرسون، اقدام به مطالعه رویش قطري و حجمی تنہ درختان بلوط و نیز به تأثیر دما و بارش و رابطه بین رویش قطري، سن و ارتفاع درختان پرداخته اند از جمله کارهای دیگر انجام شده می توان به مطالعات صفاری و

¹⁹ Chronology²⁰ KÖse

21 KÖSE,N.,GüNER

22 OGM

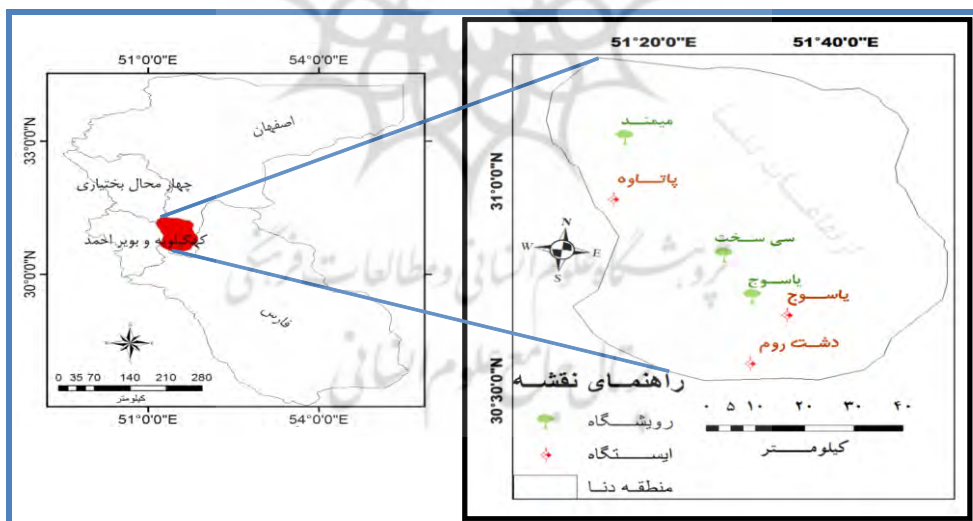
۲- مواد و روشها

منطقه دنا با موقعیت $51^{\circ}12'N$ تا $51^{\circ}51'E$ طول شرقی و $30^{\circ}51'N$ تا $31^{\circ}30'E$ عرض شمالی با مساحتی حدود 4500 کیلومتر مربع، در قسمت زاگرس مرکزی، بخش هایی از استانهای اصفهان، چهارمحال و بختیاری، فارس و استان کهکیلویه و بویراحمد را در بر گرفته است (شکل ۱). پست ترین ارتفاع منطقه از سطح دریا 1345 متر و بلندترین نقطه‌ی آن 4407 متر است. ارتفاع متوسط منطقه 2150 متر است.

برای بازسازی کمینه دمای ماهانه، داده‌های 3 ایستگاه هواشناسی پاتاوه، دشت روم و یاسوج، در داخل منطقه انتخاب و داده‌های 30 ساله ($1361-1390$) آنها مورد تجزیه و تحلیل قرار گرفته است.

نتیجه رسیده اند که در دهه‌های پایانی قرن 20 ، بارش منطقه به طور محسوسی کاهش یافته است و دمای حداکثر منطقه یک روند صعودی داشته است. همچنین آنان، پایین‌ترین و بالاترین دماهای حداکثر منطقه را نیز بازسازی نموده اند.

عدم اطلاع کافی از وضعیت اقلیم گذشته بزرگترین رویشگاه گونه بلوط ایرانی در منطقه دنا به دلیل در دست نبودن داده‌های بلندمدت اقلیمی، فقر مطالعات اقلیم شناسی درختی در منطقه، مطالعه گسترده و بازسازی پارامترهای اقلیمی گذشته منطقه را می‌طلبد که این مطالعه در راستای این اهداف است.



شکل ۱. موقعیت منطقه دنا، ایستگاه‌های هواشناسی و رویشگاه‌های نمونه برداری

در طبقه بندي دمارتن^{۲۴} و آمبرژه^{۲۵}، منطقه دنا، در اقلیم نیمه مرطوب تا نیمه مرطوب سرد قرار گرفته است.

میانگین، میانگین بیشینه و کمینه‌ی دمای منطقه به ترتیب 14 ، 23 و $5/3$ درجه سانتی گراد و میانگین مجموع بارش 30 ساله منطقه 643 میلی متر است.

²⁴ DeMartonne

²⁵ Emberger

جدول ۱. مشخصات رویشگاهی جنگل های بلوط ایرانی منطقه دنا

رویشگاه یاسوج	رویشگاه میمند	رویشگاه سی سخت	
۱۷۶۰	۲۲۳۰	۲۰۲۵	ارتفاع از سطح دریا
۵۱/۵۱۱-۵۱/۵۱۳	۵۱/۲۸۰۶-۵۱/۲۸۰۸	۵۱/۴۶۱-۵۱/۴۶۲	طول جغرافیایی (درجه اعشاری)
۳۰/۷۲۵-۳۰/۷۲۷	۳۱/۱۰۴-۳۱/۱۰۵	۳۰/۸۲۵-۳۰/۸۲۶	عرض جغرافیایی (درجه اعشاری)
جنوب غربی	جنوب غربی	جنوب غربی	برای دامنه
۱۰	۱۵	۵	درصد شیب

از آزمون علامت (^{۲۸} GLK) برای ارزیابی میزان هماهنگی و تطابق زمانی بین منحنی های رویشی درختان رویشگاه، به کمک رابطه (۱) استفاده شد (کوک، ۱۹۸۵):

$$GLK = \frac{1}{n} \sum_{i=1}^{n=1} |G_{ix} + G_{iy}| \quad (1)$$

در اینجا GLK ، درصد تطبیق واریانس، G_{ix} و G_{iy} علامت اختلاف بین مقادیر پهنه ای حلقه های رویشی در سال i نسبت به سال قبل خود در نمودار $x-y$.

مقدار GLK بین صفر تا ۱۰۰ درصد است ($0 \leq GLK \leq 100$). هر چه مقدار این آماره بیشتر باشد، حکایت از هماهنگی بیشتر بین نمونه ها است. رویش سالیانه حلقه های هر درخت علاوه بر اقلیم، تحت تأثیر فاکتورهایی نظیر، سن درخت و عوامل غیر اقلیمی دیگری نیز قرار دارد. بنابر این، برای حذف گرایشات غیر اقلیمی، حلقه های رویشی توسط برنامه ARSTAN استانداردسازی شدند (کوک، ۱۹۸۵). از بین چهار گاه شناسی (STD, RES)

این مطالعه به دو بخش تقسیم شده است. در قسمت نخست واکنش حلقه های درختی به متغیرهای اقلیمی بررسی شده و در بخش دوم، اقدام به بازسازی دمای ماهیانه نیمه سرد سال، از روی حلقه های رویشی شده است. با این هدف، سه رویشگاه غالب گونه بلوط در منطقه انتخاب (جدول ۱) و ۵۲ نمونه رویشی در دو برای جغرافیایی جنوب غربی و شمال شرقی در قطر برابر سینه (۱۳۰ سانتی متری تن)، عمود بر تنه درخت، با استفاده از مته سال سنج^{۲۶} در زمان حداقل رشد و نمو گیاه، در تابستان (شهریور ماه) ۱۳۹۰ استخراج شدند.

پس از اسکن نمونه ها، شمارش و اندازه گیری حلقه های سالیانه به کمک نرم افزار اتوکد و نیز دستگاه اندازه گیری LINTAB5 که مجهر به نرم افزار TSAP است، با دقت ۰/۰۱ میلی متر از سمت پوست به مغز اندازه گیری شد. همخوانی زمانی^{۲۷} دو نمونه از هر درخت و تمامی درختان رویشگاه با استفاده از نرم افزار TSAP انجام شد.

²⁶ Increment borer

²⁷ Cross dating

²⁸ Gleichlaeufigkeit

مقدار SNR از رابطه ۴ محاسبه می‌شود:

$$SNR = t \frac{|r_{eff}|}{1 - |r_{eff}|} \quad (4)$$

در اینجا SNR نسبت سیگنال به اغتشاش t تعداد درختان r_{eff} میانگین ضریب همبستگی بین درختان رویشگاه مقدار EPS از رابطه ۵ محاسبه می‌شود:

$$EPS_{(t)} = \frac{tr_{eff}}{tr_{eff} + (1 - r_{eff})} \quad (5)$$

در اینجا EPS تجمع سیگنال، t تعداد درختان و r_{eff} میانگین ضرایب همبستگی بین درختان است.. بالا بودن مقدار سیگنال تجمعی (EPS)، حکایت از آن دارد که تعداد نمونه‌های استخراج شده برای مطالعه اقلیم شناسی درختی منطقه، کافی به نظر می‌رسند.

بعد از تهیه گاهشناسی مناسب رویشگاه، در مرحله واسنجی با استفاده از نرم افزار SAS و با استفاده از همبستگی پیرسون، به رابطه میان گاهشناسی باقیمانده (RES) رویشگاه‌ها، با میانگین کمینه دمای ماهیانه نیمه سرد سال ایستگاه‌های هواشناسی منطقه، طی یک دوره مشترک ۳۰ ساله (۱۹۸۲-۲۰۱۱) پرداخته شد (جدول ۲).

همچنین برای حذف روند احتمالی در داده‌های اقلیمی و امکان مقایسه سری زمانی حلقه‌های رویشی با متغیرهای اقلیمی، داده‌های درجه حرارت ماهیانه ایستگاه‌های منطقه نیز بر اساس رابطه ۶، استاندارد شدند (فریتر، ۱۹۷۶).

گاهشناسی باقیمانده (RES)، بکار گرفته شد. این گاه شناسی سیگنال‌های بسیار ضعیف را به خوبی در سری زمانی حلقه‌های رویشی، حفظ می‌کند و برای مطالعات اقلیم شناسی درختی، مناسب است (کوک، ۱۹۸۵). کرونولوژی باقیمانده (RES)، میانگین باقیمانده مدل خودرگرسیونی سری‌های استاندارد شده است. همچنین کرونولوژی باقیمانده، قادر روندهای طولانی مدت ناشی از همبستگی درونی رویش سالانه است، به همین دلیل در ارزیابی روابط رویش-اقلیم از این گاهشناسی استفاده شده است. برای گاه شناسی ساخته شده، میانگین حساسیت (M.S.)، نسبت سیگنال به اغتشاش (SNR) و میزان سیگنال تجمعی (EPS^{29})، (لیو و همکاران، ۲۰۱۱) نیز با استفاده از رابطه‌های زیر محاسبه شد.

میانگین حساسیت از رابطه‌های (۲ و ۳) محاسبه می‌شود:

$$S_{i+1} = \frac{(x_{i+1} - x_i) * 2}{(x_{i+1} + x_i)} \quad (2)$$

$$MS = \frac{\sum_{i=1}^{n-1} S_{i+1}}{n-1} \quad (3)$$

در اینجا:

S_{i+1} حساسیت حلقه سالیانه متعلق به سال i

MS میانگین حساسیت یک نمونه (در واقع سنجشی است از تفاوت نسبی در پهنه‌ای بین دو حلقه مجاور) x_i پهنه‌ای حلقه رویشی در سال i

²⁹ Expressed population signal

t میانگین بلند مدت کمینه درجه حرارت و s_x مقدار انحراف میانگین کمینه درجه حرارت هستند.

$$Z_t = \frac{xt - mx}{sx} \quad (6)$$

در اینجا Z_t مقدار استاندارد شده کمینه درجه حرارت در زمان t ، x کمینه درجه حرارت در زمان

جدول ۲. مشخصات ایستگاه های هواشناسی مورد مطالعه در منطقه دنا

ایستگاه	ارتفاع	طول جغرافیایی	عرض جغرافیایی
پاتاوه	۱۵۴۰	۵۱/۲۶۶	۳۰/۹۵۸
دشت روم	۲۱۰۵	۵۱/۵۱۶	۳۰/۵۶۶
یاسوج	۱۸۲۱	۵۱/۵۸۴	۳۰/۶۸۲

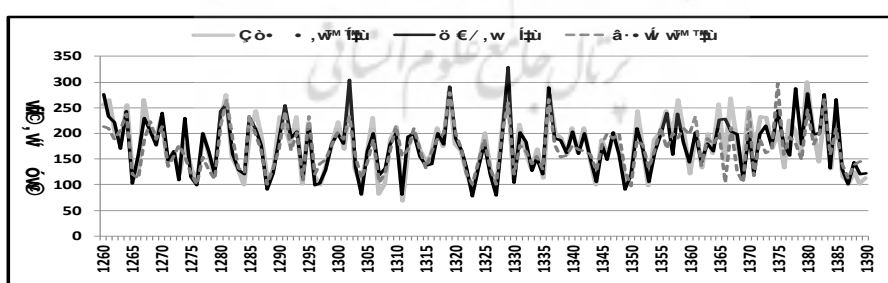
بعد از انجام فرایند تطابق زمانی برای دو نمونه از هر درخت و میانگین گیری از آنها، منحنی رویشی تمام درختان رویشگاه ها از سال ۱۳۹۰ تا ۱۴۶۰، به دست آمد. از روی منحنی های رویشی، شاخص گاهشناسی رویشگاه ها، تهیه گردید. در شکل ۲، منحنی میانگین شاخص گاه شناسی محاسبه شده سه رویشگاه، نشان داده شده است.

سپس با توجه به نتایج حاصله، اقدام به بازسازی کمینه دمای ماهانه منطقه از روی پهنهای دوایر رویشی شده است. در ادامه، اعتبار داده های بازسازی شده با یک ایستگاه هواشناسی خارج از منطقه، مورد ارزیابی قرار گرفته است.

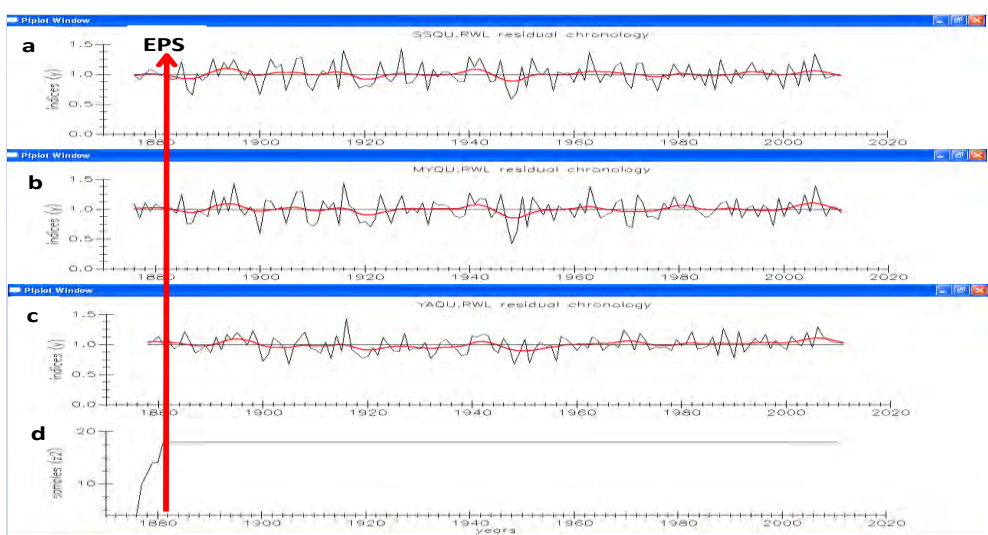
۳-نتایج و بحث

۳-۱: همبستگی پهنهای حلقه های رویشی با کمینه

دمای ماهیانه نیمه سرد سال منطقه



شکل ۲. نمایش میانگین شاخص گاه شناسی رویشگاه های سی سخت، میمند و یاسوج در جنگل های بلوط ایرانی منطقه دنا در رشته کوه های زاگرس مرکزی ایران طی ۱۳۹۰-۱۴۶۰ سال گذشته.



شکل ۳: نمایش گاهشناصی باقیمانده رویشگاه سی سخت (YAGU)، میمند، (MYQU) و یاسوج (کد SSQU)، میمند، (ARSTAN) و گاه شناسی باقیمانده رویشگاه سی سخت، میمند و یاسوج از سال ۱۸۷۶ تا ۲۰۱۱ به مدت ۱۳۶ سال، پیکان قرمز رنگ آستانه EPS را سال ۱۸۸۱ نشان داده است، d تعداد نمونه های استخراج شده (۱۸ نمونه رویشی برای هر رویشگاه) می باشد که ۱۷ نمونه ای آن در گاه شناسی باقیمانده (RES) شرکت کرده اند

جدول ۳. محاسبه میزان هماهنگی و تطابق زمانی بین گاه شناسی نمونه های استخراجی رویشگاه های سی سخت، میمند و یاسوج منطقه دنا، با استفاده از آزمون علامت^{*} (GLK)

نمونه استخراجی از شمال شرقی تنه درخت*						نمونه استخراجی از جنوب غربی تنه درخت*					
درخت	رویشگاه سی سخت	رویشگاه میمند	رویشگاه یاسوج	رویشگاه سی سخت	رویشگاه میمند	درخت	رویشگاه سی سخت	رویشگاه میمند	رویشگاه یاسوج	درخت	%GLK
۱	۷۹/۲	۱	۸۷	۱	۸۹/۸	۱	۷۵/۴	۱	۸۴/۴	۱	۹۰/۲
۲	۸۴	۲	۸۲/۹	۲	۸۶/۸	۲	۸۰/۲	۲	۸۴/۵	۲	۸۴/۱
۳	۷۸/۳	۳	۸۸/۱	۳	۸۲/۶	۳	۸۳/۷	۳	۸۲/۷	۳	۸۴/۵
۴	۸۹/۱	۴	۸۳/۶	۴	۸۰/۶	۴	۷۸/۹	۴	۸۵/۸	۴	۸۱/۴
۵	۸۵/۵	۵	۸۳/۸	۵	۸۶/۸	۵	۸۰/۶	۵	۸۶/۲	۵	۸۶/۸
۶	۸۶/۹	۶	۸۴/۵	۶	۸۳/۲	۶	۹۰/۳	۶	۸۰/۶	۶	۸۵/۱
۷	۸۶/۸	۷	۸۱/۷	۷	۷۹/۸	۷	۸۶/۵	۷	۸۴	۷	۸۱/۰
۸	۸۳/۵	۸	۸۲/۳	۸	۹۱/۹	۸	۸۶/۸	۸	۷۹/۶	۸	۹۱/۵
۹	۹۲/۶	۹	۸۴/۹	-	-	۹	۸۹/۹	۹	۸۰/۶	-	-

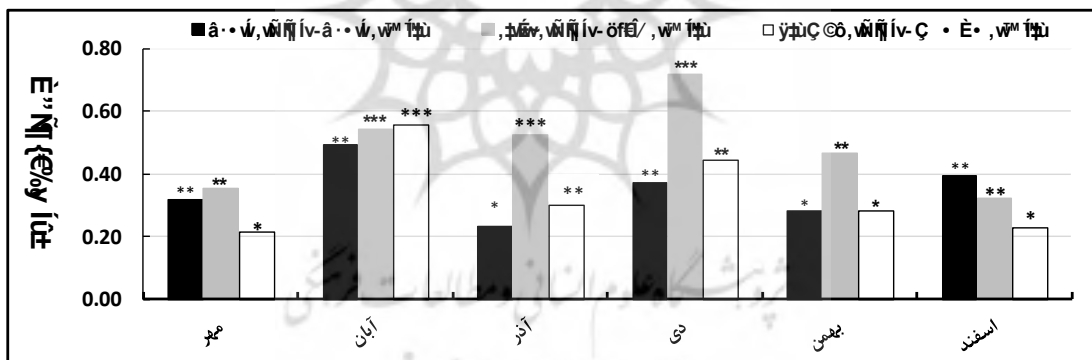
* مقدار عددی این آزمون بین ۰ تا ۱۰۰ است ** معنی دار در سطح ۰/۰۱

شده است. این هماهنگی در تمامی رویشگاه ها، بین حداقل ۷۵/۴ تا حداکثر ۹۲/۶ محاسبه شده است با انجام محاسبات ذکر شده، در نهایت ویژگی ها و مشخصات آماری گاه شناسی باقیمانده سه رویشگاه استخراج شد که نتایج آن در جدول ۴، نشان داده شده است

جدول ۴. ویژگی ها و مشخصات آماری گاه شناسی باقیمانده (RES) گونه بلوط ایرانی رویشگاه های سی سخت، میمند و یاسوج منطقه دنا در جنگل های زاگرس مرکزی ایران با استفاده از نرم افزار ARSTAN.

رویشگاه	تعداد درخت نمونه	طول گاه شناسی	میانگین همبستگی بین نمونه ها	میانگین حساسیت	میانگین سیگنال تجمعی	انحراف معیار	خود همبستگی	نسبت سیگنال به اغتشاش
سی سخت	۹/۱۷	۱۲۶۱-۱۳۹۰	۰/۵۲۹*	۰/۲۹۶*	۰/۹۰۵	۰/۱۱۱	-۰/۱۰	۹/۵۲
میمند	۹/۱۷	۱۲۶۱-۱۳۹۰	۰/۶۴۹*	۰/۳۴۵*	۰/۹۱۰	۰/۳۰۳	۰/۰۴۲	۱۰/۱۶
یاسوج	۸/۱۳	۱۲۶۱-۱۳۹۰	۰/۵۷۴*	۰/۲۹۹*	۰/۹۰۹	۰/۲۵	-۰/۰۳۹	۱۰/۰۳۶

* معنی دار در سطح ۰/۰۱



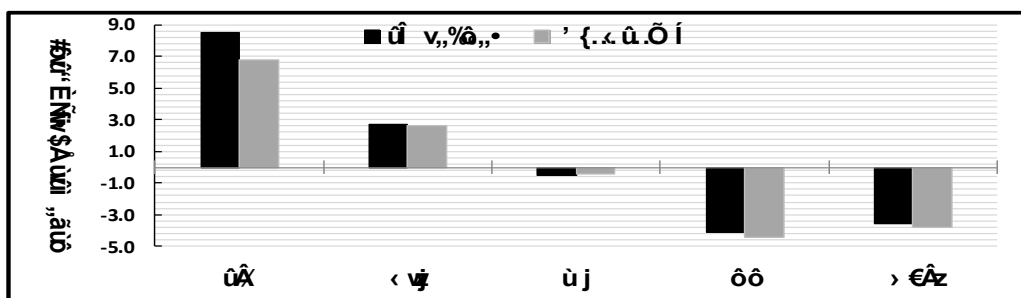
* معنی دار در سطح ۰/۰۱، ** معنی دار در سطح ۰/۰۵، *** معنی دار در سطح ۰/۰۱

شکل ۴. رابطه میان کمینه دمای نیمه سرد سال با گاه شناسی رویشگاه های منطقه دنا

رویش) با پهنهای دوایر رویشی اشاره دارند. صفاری و همکاران (۱۳۹۰، ص ۱۱۲)، شروع رشد گونه بلوط را با حداقل دمای ۱۰ درجه در ماه دانسته اند، ثابتی (۱۳۸۲، ص ۴۲) و مهاجر (۱۳۸۵، ص ۹۱) نیز به حدود این دما اشاره نموده اند

بر اساس نتایج همبستگی پیرسون^{۳۰}، ارتباط میان پارامترهای اقلیمی و پهنهای دوایر رویشی (شکل ۴)، بین ۴۵ تا ۶۵ درصد، با ضرایب اثر مثبت معنی دار بوده است. نتایج به وجود رابطه ای معنادار مستقیم، میان کمینه دما در نیمه سرد سال (قبل از فصل

³⁰ Pearson Correlation Coefficient



شکل ۵. مقایسه کمینه دمای ماهانه نیمه سرد سال در سه دهه اخیر نسبت به یک قرن قبل از خود در منطقه دنا

ایستگاه های هواشناسی منطقه تهیه شد که نتایج آن در شکل ۵، آورده شده است.

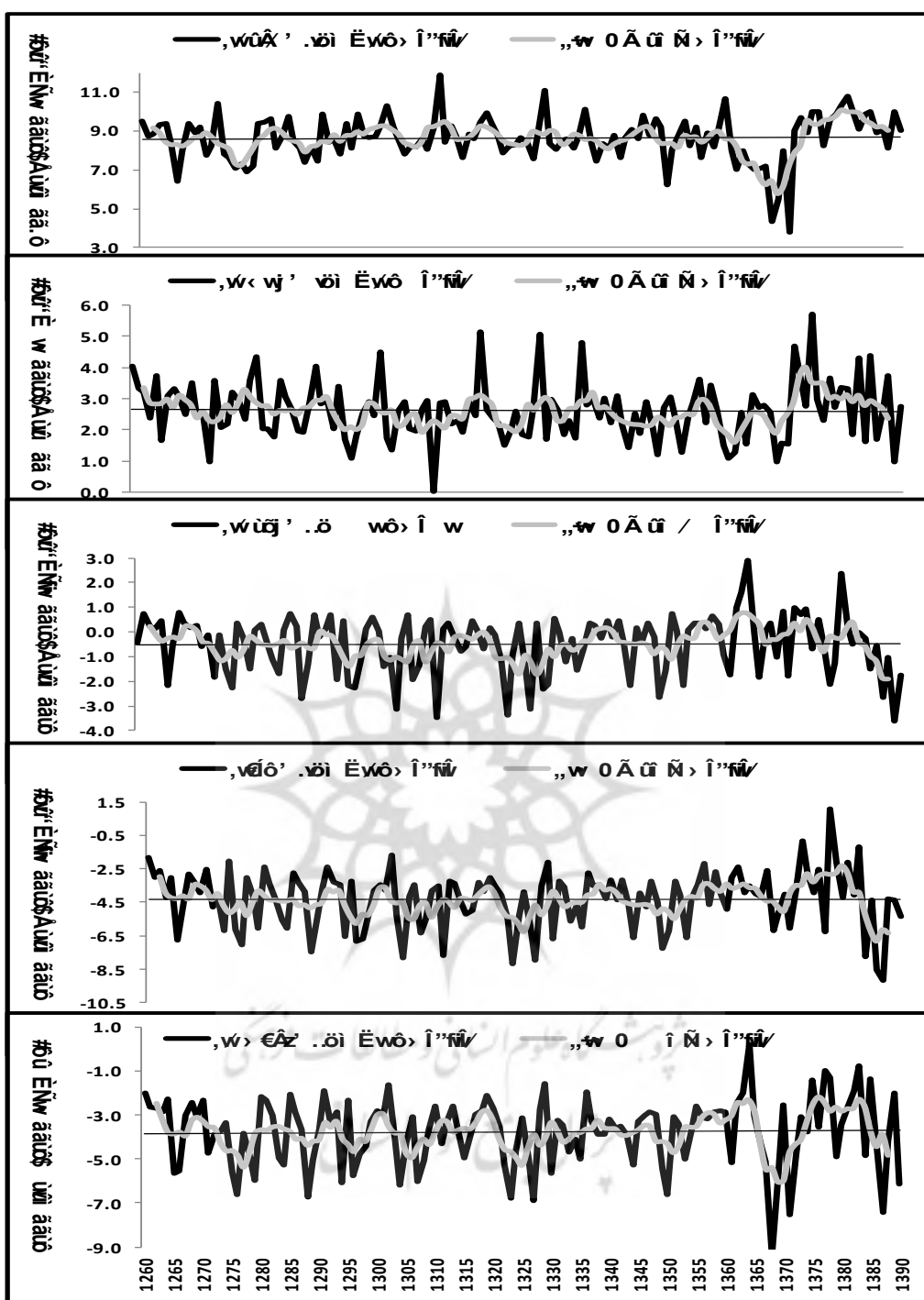
میانگین ضریب تعیین رگرسیون خطی مدل های فوق در سطح اعتماد بالای ۹۵ درصد، برای کمینه دمای ماهانه ایستگاه های منطقه به جز اسفند ماه، بین ۰/۳۶۲ تا ۰/۶۰۰، محاسبه شده است. لازم به ذکر است که از میان شش ماه نیمه سرد سال، به علت ضریب تعیین پایین مدل برآورد دمای اسفند ماه، از بازسازی کمینه دمای آن صرفه نظر شده است.

بر اساس دماهای بازسازی شده، کمینه دمای مهر، آبان، دی و بهمن ماه سه دهه ای اخیر نسبت به یک قرن قبل از خود به ترتیب، ۱/۷، ۰/۱، ۰/۳ و ۰/۲ درجه سانتی گراد، افزایش را نشان می دهد و کمینه دمای آذر ماه سه دهه ای اخیر نسبت به یک قرن قبل از خود، یک کاهش حدود یک دهم درجه (۰/۱- درجه) را داشته است (شکل ۵). در مجموع بر اساس نتایج دماهای بازسازی شده در طول ۱۳۱ سال گذشته (شکل ۶)، پایین ترین کمینه دمای مهرماه، در سال های ۱۳۷۱(۳/۸ درجه) و ۱۳۶۸(۴/۳ درجه)، بالاترین کمینه دمای مهرماه، در سال های ۱۳۱۱(۱۱/۹ درجه) و ۱۳۲۹(۱۱/۱ درجه)، بوده است. پایین ترین کمینه دمای آبان ماه، در سال های ۱۳۱۱(۱۰ درجه) و

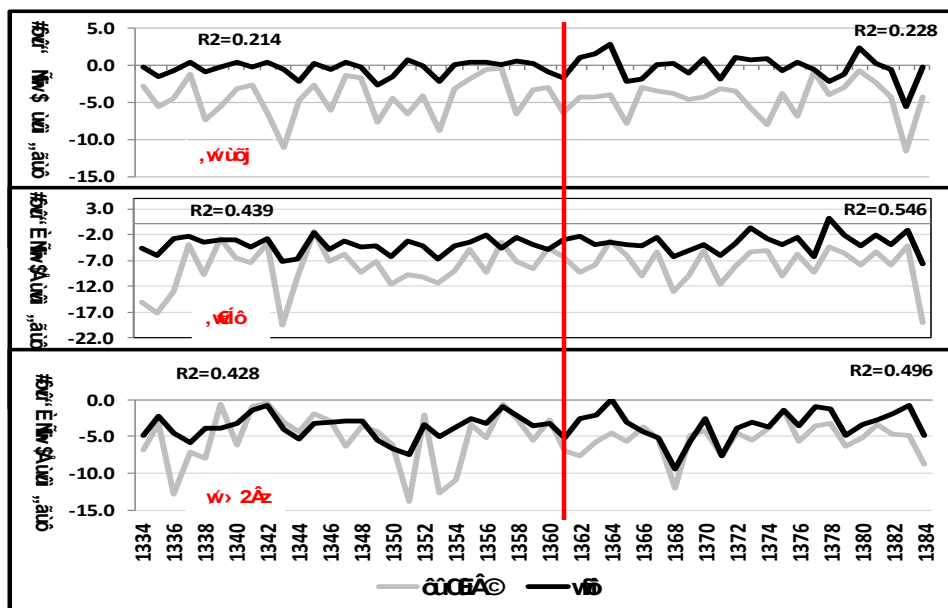
در نیمه سرد سال (پاییز و زمستان)، در هر زمان دمای حداقل افزایش پیدا کرده، پهنانی حلقه ها نیز روند افزایشی داشته است. هر چند در نیمه سرد سال رشد گیاه متوقف است ولی گیاه در طول این مدت عمل ذخیره سازی مواد غذایی را انجام داده که اثر آن در طول فصل رویش نمایان می شود (زارعان و همکاران، ۲۰۱۴). به همین دلیل در هر زمانی که دما افزایش یابد، عمل ذخیره سازی بهتر صورت می گیرد، در واقع با افزایش دما در زمان قبل از رویش، گیاه زودتر از خواب بیدار شده و فصل رشد زودتر فرامی رسد. بنابر این رابطه میان پهنانی دوایر رویشی با کمینه دمای ماهانه نیمه سرد سال، مستقیم بوده است.

۲-۳: بازسازی^۳ کمینه دمای ماهانه نیمه سرد سال، از روی پهنانی حلقه های رویشگاه ها
در این مرحله با استفاده از یک تحلیل رگرسیونی خطی ساده و درجه دو، پارامترهای اقلیمی به عنوان متغیر وابسته و پهنانی دوایر رویشی رویشگاه ها، به عنوان متغیرهای مستقل در نظر گرفته شدند و مدل نهایی برآورد کمینه دمای ماهانه نیمه سرد سال، برای

^۳ Reconstruction



شکل ۶. مقدار کمینه دمای ماهانه بازسازی شده، بر اساس گاه شناسی باقیمانده سه رویشگاه سی سخت، میمند و یاسوج
جنگل های منطقه دنا در ارتفاعات زاگرس مرکزی ایران طی یک دوره ۱۳۹۰-۱۲۶۰ ()



شکل ۷. مقایسه کمینه دمای ماهانه نیمه سرد سال منطقه دنا با کمینه دمای ماهیانه ایستگاه سینوپتیک شهرکرد به عنوان ایستگاه شاهد طی ۵۰ سال گذشته (۱۳۳۴-۱۳۸۴)، داده های واقعی مشترک دو ایستگاه از سال ۱۳۶۱ تا ۱۳۸۴، داده های واقعی ایستگاه شهرکرد با داده های بازسازی شده منطقه دنا از سال ۱۳۳۴ تا ۱۳۶۰.

۴- اعتبار سنجی مدل ها

در اینجا برای صحت مدل های بازسازی شده کمینه دمای نیمه سرد سال، مقایسه ای میان کمینه دمای بازسازی شده ایستگاه های منطقه، با داده های ایستگاه سینوپتیک شهرکرد که تقریباً از نظر شرایط اقلیمی و توپوگرافی شباهت زیادی با منطقه دنا داشته و نسبت به منطقه مورد مطالعه، از داده های اقلیمی بلند مدتی برخوردار است (به عنوان ایستگاه شاهد) صورت گرفته که این همبستگی برای آذر، دی و بهمن ماه، بیشتر نمایان بوده که در شکل ۷، نتایج آن نشان داده شده است. ملاحظه می شود که روند ماهانه دما برای هر دو ایستگاه، تقریباً دارای یک همبستگی نزدیک با یکدیگر است. مقدار آر-اسکوآر (R^2) سال های مشترک دو ایستگاه (طرف راست خط قرمز عمودی در شکل ۷) با مقدار آن در سال های واقعی ایستگاه

۱۳۶۹ (۱ درجه)، بالاترین کمینه دمای آبان ماه، در سال های ۱۳۷۵ (۵/۷ درجه) و ۱۳۱۹ (۵/۲ درجه)، رخ داده است. پایین ترین کمینه دمای آذر ماه، در سال های ۱۳۸۹ (۳/۶ درجه) و ۱۳۱۱ (۳/۵ درجه)، بالاترین کمینه دمای آذر ماه، در سال های ۱۳۶۴ (۲/۹ درجه) و ۱۳۸۰ (۲/۴ درجه)، اتفاق افتاده است. پایین ترین کمینه دمای دیماه، در سال های ۱۳۸۷ (۹/۲ درجه) و ۱۳۸۶ (۸/۵ درجه)، بالاترین کمینه دمای دیماه، در سال های ۱۳۷۸ (۱/۱ درجه) و ۱۳۷۳ (۰/۸ درجه)، برآورده شده است. پایین ترین کمینه دمای بهمن ماه، در سال های ۱۳۶۸ (۹/۴ درجه) و ۱۳۷۱ (۷/۶ درجه)، بالاترین کمینه دمای بهمن ماه، در سال های ۱۳۶۴ (۰/۲ درجه) و ۱۳۸۳ (۰/۸ درجه)، بوده است.

منطقه دنا داشته اند که نیاز به مطالعه بیشتر در این زمینه ها را می طلبد.

- بازسازی کمینه دمای نیمه سرد سال منطقه، موجب تکمیل بانک اطلاعات اقلیمی کشور و منطقه دنا، خواهد شد.

شاهد و سال های برآورده ایستگاه های منطقه(طرف چپ خط قرمز عمودی در شکل ۷)، تقریباً به یکدیگر نزدیک بوده است. بنابر این، می توان به داده های بازسازی شده اعتماد نمود

۵-نتیجه گیری

منابع

ارسانی محسن، عزیزی قاسم و خوش اخلاق فرامرز (۱۳۹۱): بازسازی تغییرات دمای حداکثر استان کرمانشاه با استفاده از حلقه های درختی، مجله جغرافیا و مخاطرات محیطی، شماره اول، صص ۱۱۰-۹۷

امیرچخماقی نرگس و سهرابی هرمز (۱۳۸۹): بررسی واکنش حلقه های درختی بلوط ایرانی (*Quercus Persica*) با استفاده از اقلیم شناسی درختی، اولین کنفرانس پژوهش منابع طبیعی، سندج، ایران.

بالاپور شمس الدین، اسدپور حمیده، جلیلوند حمید و رائینی محمود (۱۳۸۷): بررسی تأثیر متغیرهای اقلیمی بر روی رشد سالیانه درخت بلوط در جنگل های محدوده مدیریت شرکت نکاچوب، اولین همایش بین المللی تغییر اقلیم و گاهشناسی درختی در اکوسیستم های خزری، ۲۵ و ۲۶ اردیبهشت ۱۳۸۷، ساری، ایران.

پورسرتیپ لادن (۱۳۸۴): بررسی اقلیم شناسی گونه های ارس (*Quercus polycarpos*) و اوری (*Juniperus macranthera*) در منطقه چهارباغ گرگان، پایان نامه کارشناسی ارشد، دانشکده منابع طبیعی دانشگاه تهران، ۹۰ صفحه.

پورطهماسی کامبیز، پارساپژوه داود، مهاجر مری و محمدرضا و علی احمد کروی سودابه (۱۳۸۷): ارزیابی رویش شعاعی درختان ارس (*Juniperus Polycarpos C.Koch*) در سه رویشگاه ایران با

از این مطالعه، نتایج زیر حاصل شده است:

- مشخصات گاه شناسی رویشگاه ها به ویژه میانگین حساسیت و نسبت سیگنال به اغتشاش نمونه ها، نشان دادند که گونه بلوط ایرانی، ارزش مطالعات اقلیم شناسی درختی را در خود دارد.

- گونه بلوط ایرانی به کمینه دمای نیمه سرد سال حساس بوده و این حساسیت با ضریب اثر مثبت معنادار شده است. یعنی افزایش دما در زمان های قبل از فصل رویش، موجب بهبود رشد در سال جاری رویشی شده است.

- با مقایسه کمینه دمای ماهانه نیمه سرد سه دهه ای اخیر نسبت به داده های بازسازی شده یک قرن قبل از خود، مشخص شد که در سه دهه ای اخیر، تا حدودی از سرمای نیمه سرد سال کاسته شده است.

- مطالعات نشان می دهد در سه دهه ای اخیر، مساحت جنگل های بلوط منطقه دنا بطور چشمگیری کاهش یافته است، نتایج این مطالعه نشان می دهد، به دلیل رابطه مستقیم کمینه دما با پهنهای دوازیر رویشی، احتمالاً کمینه دما نقش قابل توجهی در کاهش مساحت این جنگل ها، نداشته است.

- شاید سایر پارامترهای اقلیمی، شیوع انواع بیماری های گیاهی و همچنین دخالت های انسانی نقش پررنگ تری در کاهش مساحت جنگل های

عزیزی قاسم، ارسلانی محسن و یمانی مجتبی (۱۳۹۱): بازسازی تغییرات بارش اکتبر- می شهر کرمانشاه طی دوره ۱۷۰۵-۲۰۱۰ با استفاده از حلقه های درختی، مجله پژوهش‌های جغرافیای طبیعی، شماره ۷۹، صص ۵۳-۳۷.

کرم زاده سرخوش، پوربابایی حسن و ترکمن جواد (۱۳۹۰): اقلیم شناسی درختی (Dendroclimatology) بلند مازو در منطقه سراوان گیلان، فصلنامه تحقیقات جنگل و صنوبر ایران، جلد ۱۹، شماره ۱، صص ۲۶-۱۵.

مهراب مرزوی محمد رض (۱۳۹۵): جنگل شناسی و پژوهش جنگل، انتشارات دانشگاه تهران، چاپ دوم، ص ۳۱۳.

نجفی فرهاد، پورطهماسی کامبیز و کریمی آ (۱۳۹۰): مطالعه اقلیم شناسی درختی بلوط مازودار (*Quercus* (Infectoria) در غرب ایران، اولین کنفرانس پژوهش منابع طبیعی، سنتدج، ایران.

Arrigo, D., Jacoby, R.D., Free, G.C.M and Robock, A., (1999). Northern Hemisphere annual to decadal temperature variability for the past three centuries: Tree-ring and model estimates. *Clim Change* (42): P 663-675.

Cook, E.R., (1985). A time series analysis approach to tree-ring standardization; Unpublished Ph.D. Dissertation, University of Arizona, Tucson, AZ, USA, P. 171.

Fan, Ze- Xin., Brauning, A., and Cao, Kun-Fang., (2008). Annual temperature reconstruction in the Central Hengduan Mountains, China, as deduced from tree rings. *Dendrochronologia*, v (26): P 97-106.

Fan, Ze-Xin., Brauning, A., Tian, Qin-Hua., Yang, Bao., and Cao, Kun-Fang., (2010). Tree ring recorded May-August temperature variations since A.D. 1585 in the Gaoligong Mountains, southeastern

استفاده از دانش گاه شناسی درختی، فصلنامه علمی- پژوهشی تحقیقات جنگل و صنوبر ایران، جلد ۱۶، شماره ۲، ص ۳۴۲-۳۲۷.

تابان اسکندر (۱۳۶۸): بررسی رویش قطری درختان بلوط غرب و بنه، مجله جنگل و مرتع، ج ۴، ص ۷ تا ۱۱.

ثابتی حبیب الله (۱۳۸۲): جنگلهای، درختان و درختچه های ایران، یزد، دانشگاه یزد، چاپ سوم، ص ۸۷۶.

جلیلوند حمید و کاظمی سید محمود (۱۳۸۷): وقایع نگاری اقلیمی از روی حلقه های رویشی درخت، اولین همایش بین المللی تغییر اقلیم و گاه شناسی درختی در اکوسیستم های خزری، ۲۵ و ۲۶ اردیبهشت ۱۳۸۷، ساری، ایران.

جهانبازی گوجانی حسن، میربادین علیرضا و طالبی سیدمحمود (۱۳۸۰): بررسی و تعیین میزان رویش قطری *Quercus brantii* Lindel در استان چهارمحال و بختیاری، مجله تحقیقات جنگل و صنوبر ایران، ص ۱۰ تا ۳۲.

سوسنى جواد، سپهوند اصغر، عادلی کامران و سهم دینی الهام (۱۳۸۷): بررسی تأثیر خشکسالی انتهایی دهه ۸۰ در میزان رویش قطری درختان شاخه زاد بلوط ایرانی (مطالعه موردی جنگل های منطقه بدرآباد شهرستان خرم آباد)، اولین همایش بین المللی تغییر اقلیم و گاهشناختی درختی در اکوسیستم های خزری، ۲۵ و ۲۶ اردیبهشت ۱۳۸۷، ساری، ایران.

صفاری محسن ، ایوبی ابراهیم، بخشی رضا و کیائی مجید (۱۳۹۰): بررسی اثر متغیرهای اقلیمی بر حلقه های رویشی چوب گونه بلوط (*Quercus* (*Castaneaefolia*)، (مطالعه موردی طرح تلیم رود تنکابن)، فصلنامه علوم و فنون منابع طبیعی، سال ششم، شماره دوم، تابستان ۱۳۹۰، صص ۱۰۵ تا ۱۱۳.

- Liu, J., Yang, B., and Qin, C., (2011). A Tree-ring based annual precipitation reconstruction since AD 1480 in south central Tibet. *Quaternary International* 236, 75-81.
- Liu, J., Yang, B., and Chun, Q., (2010). Tree-ring Based Annual precipitation Reconstruction of Since AD 1480 in South central Tibet, *Quaternary Research*, v (75): No 3: P438-450.
- Loder, N., Danny, M., Mary, G., Iain, R., and Risto, J., (2007). Stable Isotopes as Indicators of Ecological Change, Chapter three, Elsevier Inc.
- OGM., (2011). Orman var imiz, TC evre ve Orman Bakan , Orman Genel Müdürlüğü خاتمه داشت Bulton, Accessed 15 July 2011.
- Pan, C., Tajchman, S.J., and Kochenderfer, J.N., (1997). Dendroclimatological analysis of major forest species of the central Appalachians, *Forest Ecology and Management* (1): P77-88.
- Sahney, S., Benton, M.J., and Falcon-Lang, H.J., (2010). Rainforest collapse triggered Pennsylvanian tetrapod diversification in Euramerica. *Geology* 38 (12): P1079-1082.
- Suarez, G., M.A., Butler, C.J., and Baillie, M.G.L., (2009). Climate signal in tree-ring chronologies in a temperate climate: A multi-species approach, ELSEVIER, *Dendrochronologia* (27)183-198.
- Wilson, R.J.S., Luckman, B.H., (2002). Tree-ring reconstruction of maximum and minimum temperatures and the diurnal temperature range in British Columbia, Canada *Dendrochronologia*, v (20/3): P1-12.
- Youngblut, D., Luckman, B., (2008). Maximum June-July temperature in the Southwest Yukon over the last 300 years reconstructed from tree rings, *Dendrochronologia*, v (25): P153-166.
- Zarean, H., Yazdanpanah, H., Movahedi, S., Jalilvand, H., Momeni, M., and Yarali, N., (2014). Chronological study of *Quercus Persica* Growth Ring Response to Climatic variables of Precipitation and Temperature Tibetan Plateau. *PALAEO*, v (296): P 94-102.
- Flower, A., Esper, D.J., (2011). A dendroclimatic reconstruction of June-July mean temperature in the northern Canadian Rocky Mountains. *Dendrochronologia*, v (29): P 55-63.
- Frank, D., Esper, J., (2005). Temperature reconstructions and comparisons with Instrumental data from a tree-ring network for the European Alps. *Int. J. Climatol*, v (25): P 1437-1454.
- Fritts, H.C., (1976). *Tree Rings and Climate*. Academic Press, London, UK: 576PP.
- Fritts, H.C., (1962). The relation of growth ring widths in American beech and white oak to variations in climate, *Tree-Ring Broullentin* (25(1-2)): P2-10.
- Hai, F. Z., Xue, M.S., Zhi, Y.Y., Peng, X., Yan, X., and Hua, T., (2011). August temperature variability in the southeastern Tibetan Plateau since A.D.1385 inferred from tree rings. *PALAEO*, v (5): P703.
- Jacoby, G., Solomina, O., Frank, D., Eremenko, N., and Arrigo, R.D., (2004). Kunashir (Kuriles) Oak 400-year reconstruction of temperature and relation to the Pacific Decadal Oscillation, *PALAEO*, v (209): P303-311.
- KÖSE, N., Akkemik, Ü., Dalfes HN., and Özeren MS., (2011). Tree-ring reconstructions of May-June precipitation of Western Anatolia *Quat Res* (75): P438-450.
- KÖSE, N., GüNER, T.H., (2012). The effect of temperature and precipitation on the intra-annual radial growth of *Fagus orientalis* Lipsky in Artvin, Turkey, *TÜB TAK, Turk J Agric For* 36(2012),501-509.
- Liang, E., Xuemei, S., and Ningsheng, Q., (2007). Tree - ring based summer temperature reconstruction for the source region of the Yangtze River on the Tibetan Plateau. *Global and Planetary Change*, v (16): P313-320.

in Zagros Forests (Case study of Dena Region), J. Appl. Environ. Biol. Sci., 4(4)1-1.

